

岐阜大学 正会員 安田 孝志
岐阜大学 学生員 ○後藤 真太郎

1. 緒言 本研究は、斜面勾配の影響をあらわに評価した $K-dV$ 方程式の数値解を求ることにより、一様傾斜面上における水粒子速度の特性を明らかにしようというものである。

2. 一様傾斜面上における水粒子速度の表示式の説明 一様な傾斜面上における非回転の波動運動を考え、座標および記号を図1のように定め、角谷になら、 ζ 流体力学の基礎方程式に次式の変換

$$\xi = \varepsilon^{1/2} (\int dx^*/C_0 - \zeta^*), \quad \tau = \varepsilon^{3/2} t^*, \quad \zeta = z^*$$

を適用すれば、 ζ -一次近似において次式の斜面上における $K-dV$ 方程式を得る。

$$\eta_{tt} + 3\eta_t \eta_{t\xi}/2C_0 + \eta_{\xi\xi}/6C_0 - B_t^* \eta_t/4C_0^2 = 0$$

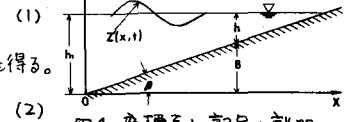


図1 座標系と記号の説明

ここに、 $\varepsilon = (h_1/L_1)^2 \ll 1$, $C_0 = \sqrt{1-B^*} = \sqrt{h^*}$, $x^* = x/h_1$, $z^* = z/h_1$, $t^* = t\sqrt{g/h_1}$, $B^* = B/h_1$, L_1 : 初期位置 z の波長、および h_1 : 座標原点 z の平均水深であり、水面変動 ζ と ζ の関係は次式で与えられる。

$$z/h_1 = \varepsilon \eta_1 + \varepsilon^2 \eta_2 + \dots \quad (3)$$

このとき、同時に無次元速度ポテンシャル $\phi^* = \phi/h_1 \sqrt{gh_1}$ は以下の表示式が得られ、それは次式のようになりのみに依存した形で表される。

$$\begin{aligned} \phi^* = & \varepsilon^{1/2} \left[\int_0^z \eta_1 d\xi + \int_0^z \left\{ -(z^*-B^*) \eta_{1\xi}/2C_0^2 + C_0^2 \eta_{1\xi}/2 + \int_0^z \eta_1^2 d\xi / 2C_0^2 + \int_0^z \eta_2 d\xi \right\} \right] + \varepsilon^{5/2} \left[\eta_{1\xi\xi\xi} \{(z^*-B^*)^2/24C_0^4 \right. \\ & - (z^*-B^*)^2/12 + C_0^4/24 + \eta_1 \left\{ -(z^*-B^*) B_t^*/2C_0^2 + (z^*-B^*) B_t^*/C_0 - C_0 B_t^*/2 \right\} + \int_0^z \eta_1^2 d\xi \left\{ (z^*-B^*)^2/C_0^4 - 1/6 \right\} \\ & + \int_0^z \eta_1^2 d\xi \left\{ (z^*-B^*)^2/C_0^4 - 1/2 \right\} - \int_0^z \eta_1^3 d\xi / 4C_0^3 + B_t^* \int_0^z (\eta_1^2 \eta_2) d\xi / 4C_0^3 + \eta_{2\xi} \left\{ C_0^2/2 - (z^*-B^*)^2/2C_0^2 \right\} \\ & \left. + \int_0^z \eta_1 \eta_2 d\xi / C_0^2 + \int_0^z \eta_3 d\xi \right] + \dots \end{aligned} \quad (4)$$

以下では、上式を用いて斜面上における水粒子速度の特性の阐明を試みる。ただし、数値計算は都合の良いように波形の規準化を行なうために次式のような変換を導入する。

$$\eta = (h_1/h_i) Y / \varepsilon = D_s Y, \quad \xi = (C/\sqrt{gh_1})^{-1} \xi^* \quad (5)$$

これを式(4)に適用し、さらに X , Z で偏微分すれば、無次元表示の水粒子速度成分 $U^*(X)$ 、 $W^*(Z)$ は次式で表される。

$$\begin{aligned} U^* = & U/\sqrt{gh_1} = \varepsilon D_s Y_1 + \varepsilon^2 \left[(C/\sqrt{gh_1})^2 D_s Y_1 \left\{ C_0/3 - (z^*-B^*)^2/2C_0^3 \right\} - D_s^2 Y_1^2 / 4C_0^3 + D_s^2 B_t^* \right] Y_1 d\xi^* / 4C_0^2 + D_s Y_1 / C_0 \\ & + \varepsilon^3 \left[(C/\sqrt{gh_1}) D_s Y_1 \left\{ 2(z^*-B^*) B_t^*/C_0^2 - 9(z^*-B^*)^2 B_t^*/8C_0^4 - 7B_t^*/8 \right\} + (C/\sqrt{gh_1})^2 D_s^2 Y_1^2 \left\{ 7(z^*-B^*)^2/5C_0^5 \right. \right. \\ & \left. \left. - 5/4C_0 \right\} + (C/\sqrt{gh_1})^2 D_s^2 Y_1^2 Y_1 \left\{ 7(z^*-B^*)^2/4C_0^5 - 11/12C_0 \right\} + (C/\sqrt{gh_1})^2 D_s Y_1 \left\{ (z^*-B^*)^2/24C_0^5 - C_0^3/24 \right\} \right. \\ & \left. - D_s^3 Y_1^3 / 4C_0^5 + D_s^2 B_t^* Y_1 \right] Y_1 d\xi^* - 3D_s (C/\sqrt{gh_1}) \int_0^z Y_1^2 Y_1 d\xi^* / 2C_0^3 + 3D_s^2 B_t^* \int_0^z Y_1^2 d\xi^* / 4C_0^3 + D_s (C/\sqrt{gh_1})^3 \cdot \right. \\ & \left. \int_0^z Y_1^3 Y_1 d\xi^* / 6C_0 - D_s^2 (C/\sqrt{gh_1})^2 Y_1 Y_1 d\xi^* / 6C_0 \right] + \dots \end{aligned} \quad (6)$$

$$\begin{aligned} W^* = & W/\sqrt{gh_1} = \varepsilon^{3/2} \left\{ -D_s (C/\sqrt{gh_1}) (z^*-B^*) Y_1 \left\{ C_0^2 + \varepsilon^{5/2} \left[D_s (C/\sqrt{gh_1})^3 Y_1 \left\{ (z^*-B^*)^3/6C_0^4 - (z^*-B^*)/6 \right\} \right. \right. \right. \\ & \left. \left. \left. + 2D_s^2 (C/\sqrt{gh_1}) (z^*-B^*) Y_1 Y_1 \left\{ C_0^2 + D_s Y_1 \left\{ -(z^*-B^*) B_t^*/C_0^3 + B_t^*/C_0 \right\} - Y_2 \left\{ (z^*-B^*)/C_0^2 \right\} \right\} + \dots \right] \right\} \end{aligned} \quad (7)$$

さらには、水粒子の軌跡はまず斜面勾配の影響を明らかにするため、軌跡の計算は都合の良い Lagrange 座標での水粒子速度の表示式を導く。式(6), (7)で表される Euler 座標 z の水粒子速度ベクトル $U (= U_x^* + W_z^*)$ と Lagrange 座標での水粒子の速度ベクトル $U (= U_x^* + W_z^*)$ との関係は周知のようになつて次式で表される。

$$\bar{u}(a,t) = u(a + \int_0^t u(a,t') dt, t') = u(a,t) + (\int_0^t u dt)^2 \nabla u + (\int_0^t u dt)^2 \nabla^2 u / 2 + \dots \quad (8)$$

ここで、 a は一周期 T を N 個に分割し、 T/N ごとの積分計算を行って求めらるる水粒子の位置であるとし、 T/N の間隔 Δt は $|\int_0^T u(a,t') dt'|$ は十分小さいものとする。式(8)の関係を利用してれば、Lagrange座標での無次元表示の水粒子速度成分 $U^*(x\text{方向})$, $W^*(z\text{方向})$ は次のように表される。

$$U^* = U/\sqrt{gh_1} = \varepsilon D_s Y_1/C_0 + \varepsilon^2 [(C/\sqrt{gh_1})^2 D_s Y_1 + \{ C_0/3 + (Z^* - B^*)/2C_0^2 \} - D_s^2 Y_1^2/4C_0^2 - Y_1 dY_1/dZ^*]/C_0^3 \quad (9)$$

$$W^* = W/\sqrt{gh_1} = \varepsilon^{3/2} \{ - (C/\sqrt{gh_1}) D_s Y_1 + (Z^* - B^*)/C_0^2 \} + \dots \quad (10)$$

3. 数値解の精度に関する検討

式(2)の数値解の精度についてでは、すでに碎波直前の波に対するても十分な精度を持つことを明らかにしている²⁾。ここでは、式(6)および式(7)の水粒子速度の表示式¹⁾を用いた時の数値解の精度についての検討を行う。図2は、解析解が導かれている一様水深場での水平水粒子速度の鉛直分布に関する数値解と解析解との比較を示したものであり、図中 \circ 2nd approx. および \circ 3rd approx. は各々式(6)および式(7)における $O(\varepsilon^2)$, $O(\varepsilon^3)$ に対応している。これから、 ε 2次近似解においては、水深波高比 h/H が3より大きくなると解析解との相違は全然無視できる程度になることがわかる。図3は一様水深場での水粒子の軌跡について水理実験結果および解析解との比較を示したものである。さらに斜面勾配を考慮した時の精度を検討するため、岩垣ら²⁾による実験結果との比較を行い、その結果を図4および図5に示した。図4はこの時の波形を示し、図5は水平水粒子速度についての比較を示したものである。これから、碎波長である h/H においては、さすがに実験結果との相違は顕著であるがクノイド波理論に比べれば、なお実験結果とは対応しているといえる。また、波形自体は良く対応しているにも拘らず内部構造については実験結果との比較から若干精度が劣ることがわかるが、Rankin-Stokesの条件から考えると実験結果は水粒子速度が過小な値を示しているとも言えよう。

4. 一様傾斜面上における水粒子速度の計算

図6は、式(6)によらず面上での水粒子速度と、同じ図5. 傾斜面上の水粒子速度鉛直分布に関する岩垣らの実験結果との比較条件下でのクノイド波理論によるそれとの比較を示したものであり、図7はその時のそれらの波形の比較である。これから、水面変動の総エネルギーと波形の急峻化に伴う比率の増大は、水平水粒子速度に大きく影響を及ぼし、直接的にはあるが斜面勾配の影響が波動の塊の内部構造にも大きく現われることがわかる。

5. 結語

以上より、一様傾斜面上における水粒子速度は波形に大きく依存することが明らかとなつた。一様傾斜面上の水粒子速度に関する系統的な計算結果は講演時に述べることにする。

参考文献: 1) 安田ほか; K-dv方程元による斜面上の波の変形, 第26回海講論文集, pp.21-25 1979

2) 岩垣ほか; 斜面上の水粒子速度の鉛直分布について, 第18回海講論文集, pp.93-96 1971

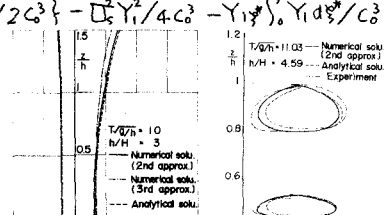


図2. 一様水深場での水平水粒子速度の鉛直分布に関する数値解と解析解との比較

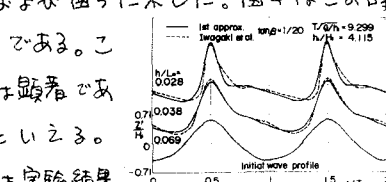


図3. 一様水深場での水粒子の軌跡に関する数値解と解析解との比較

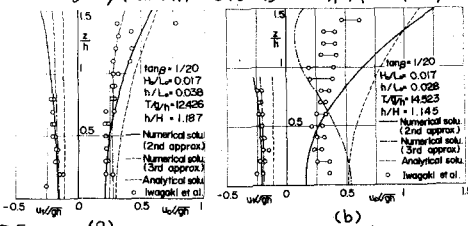


図4. 余分面上での波形に関する岩垣らの実験結果との比較

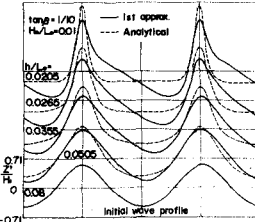


図5. 傾斜面上での波形の比較

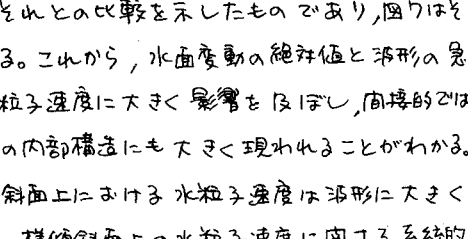


図6. 傾斜面上での波形の比較

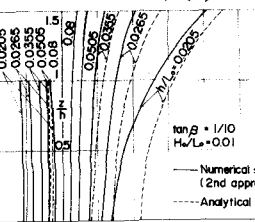


図7. 傾斜面上での水平水粒子速度の鉛直分布